

3.5 Wärme Kapazität Einstein-Modell

16.05.12

- atom. Kristall mit N Atomen } $3N$ harm. Osz.
- jedes Atom: 3 dim. harm. Osz.
- jedes Atom schwingt mit derselben Frequenz

$$\tilde{C}_V = 3R \left(\frac{\hbar\omega}{kT} \right)^2 \frac{\exp(\hbar\omega/kT)}{\left[\exp(\hbar\omega/kT) - 1 \right]^2} \quad (\rightarrow \text{siehe ÜB 5})$$

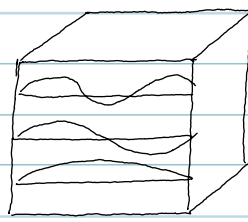
$$\begin{aligned} \hbar\omega \ll kT: \exp(\hbar\omega/kT) &\approx 1 + \frac{\hbar\omega}{kT} \\ \Leftrightarrow \tilde{C}_V &\approx 3R \left(\frac{\hbar\omega}{kT} \right)^2 \frac{1 + \frac{\hbar\omega}{kT}}{\left(1 + \frac{\hbar\omega}{kT} - 1 \right)^2} \approx 3R \left(\frac{\hbar\omega}{kT} \right)^2 \frac{1}{\left(\frac{\hbar\omega}{kT} \right)^2} = 3R \end{aligned}$$

\hookrightarrow entspr. Debye-Perrin-Gr.

Debye-Modell

- endl. Verteilung von Frequenzen $\rightarrow 3N$
- sphärisch sym. Verteilung von Frequenzen
- Dispersion vernachlässigt: $\omega \propto k$

Moden in einem Würfel, feste Enden: $x=0, x=L$



$$y=0, y=L$$

$$z=0, z=L$$

\hookrightarrow stehende Wellen $n \propto \sin k_x x$

$$0 \quad L$$

$$\sin k_x L = 0 \rightarrow k_x = n_x \frac{\pi}{L} \quad (n_x = 0, 1, 2, \dots)$$

$$\sin k_y L = 0 \rightarrow k_y = n_y \frac{\pi}{L} \quad (n_y = 0, 1, 2, \dots)$$

$$\sin k_z L = 0 \rightarrow k_z = n_z \frac{\pi}{L} \quad (n_z = 0, 1, 2, \dots)$$

Anzahl Moden?

$$dN = \frac{4\pi R^2 dk}{\left(\frac{\pi}{L} \right)^3} \cdot 3 \cdot \frac{1}{8} = \frac{3V}{2\pi^2} k^2 dk$$

Schwingungsfrequenzen: $\omega = rk$

$$dN = \frac{3V}{2\pi^2 r^3} \omega^2 dw$$

Zuständsdichte: $D(\omega) = \frac{dN}{d\omega}$

$$D(\omega) = \frac{3V}{2\pi^2 V^3} \omega^2$$

Debye: $3N$ Moden zw. $\omega=0$ und $\omega_{\max}=\omega_0$ (Debyefrequenz)

$$\frac{3V}{2\pi^2 V^3} \int_0^{\omega_0} \omega^2 d\omega = 3N$$

$$\frac{V}{2\pi^2 V^3} \omega_0^3 = 3N$$

$$\boxed{\omega_0 = \left(\frac{6\pi^2 N}{V} \right)^{1/3}}$$

Schwingungsenergie

$$E_{\text{ges}} = \int_0^{\omega_0} \left[n(\omega) + \frac{1}{2} \right] \hbar\omega D(\omega) d\omega$$

$$\hookrightarrow \tilde{C}_v = k \int_0^{\omega_0} \frac{\left(\frac{\hbar\omega}{kT} \right)^2 \exp(\hbar\omega/kT)}{\left[\exp(\hbar\omega/kT) - 1 \right]^2} D(\omega) d\omega$$

$$\text{mit } x = \frac{\hbar\omega}{kT} \text{ und } \Theta_0 = \frac{\hbar\omega_0}{k}$$

$$\hookrightarrow \tilde{C}_v = 3R \left(\frac{T}{\Theta_0} \right)^3 \int_0^{\Theta_0/T} \frac{e^x}{(e^x - 1)^2} x^4 dx$$

$$kT \gg \hbar\omega : \frac{e^x}{(e^x - 1)^2} \approx \frac{1}{x^2}$$

$$\tilde{C}_v = 3R \left(\frac{T}{\Theta_0} \right)^3 \int_0^{\Theta_0/T} x^2 dx = 3R \quad (\text{D-P-Gl.})$$

$$T \rightarrow 0K: \int_0^{\infty} \frac{e^x}{(e^x - 1)^2} x^4 dx = \frac{4\pi^4}{15}$$

$$\hookrightarrow \boxed{\tilde{C}_v = \frac{12\pi^4}{5} R \left(\frac{T}{\Theta_0}\right)^3} \quad \text{Debyesches } T^3\text{-Gesetz}$$

Debye: gute Übereinstimmung mit exp. Daten, auch bei niedrigen T (\rightarrow Bsp.)

4. Bindungen und elektronische Struktur

4.1. Metallische Bindungen

Freies e^- -Modell

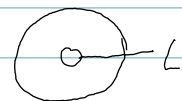
- Valenz e^- : frei und unabhängig
- Valenz e^- : in ~~homogenem~~ homogenen Potential (Atomrumpfe)
z.B. $3s e^-$ (Na)

1-dim. Modell

$$H\psi = E\psi$$

$$V(x) = \text{const.} = 0 \rightarrow -\frac{\hbar^2}{2m} \frac{d^2\psi}{dx^2} = E\psi$$

mögliche Modelle



$$\text{Randbed.: } \psi(0) = \psi(L) = 0$$

\hookrightarrow stehende Wellen

$$\text{period. Randbed.: } \psi(0) = \psi(L)$$

\hookrightarrow fortschreitende Wellen

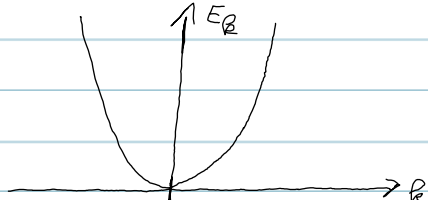
$TK \rightarrow$ period. Randbed. (\rightarrow Kap. 3)

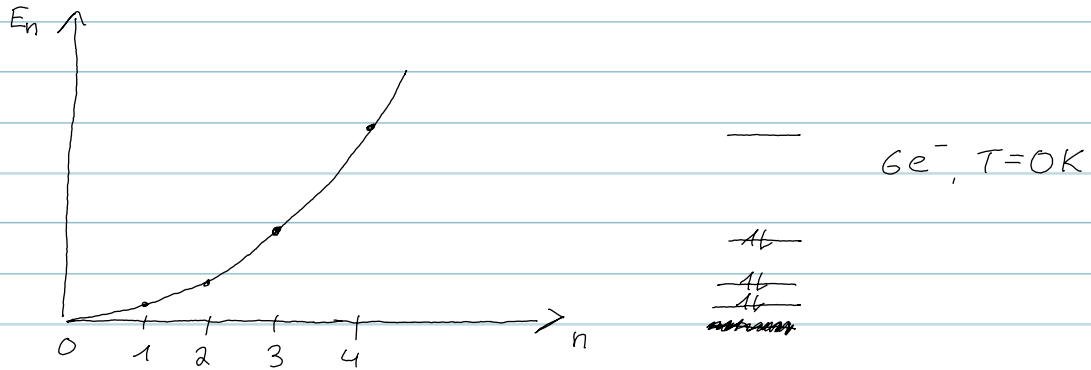
$$\hookrightarrow \text{Lsg.: } \psi = e^{i k x} \quad k = \frac{p}{\hbar}$$

$$\psi(0) = e^0 = 1 = e$$

$$kL = n \frac{2\pi}{L} \rightarrow k = n \frac{2\pi}{L} \quad (n = 0, \pm 1, \pm 2, \pm 3, \dots)$$

$$\text{Energieeigenwerte: } E_k = \frac{\hbar^2 k^2}{2m}$$





Def.: Fermi niveau = höchster besetzter Zustand bei $T=0K$

$$N \text{ Valenzelektronen} \Leftrightarrow n_F = \frac{N}{2}$$

$$E_F = \frac{\hbar^2 k_F^2}{2m} = \frac{\hbar^2 n_F^2 4\pi^2}{2m L^2} = \frac{\hbar^2 N^2 4\pi^2}{2m 4L^2} = \frac{\hbar^2 (N\pi)^2}{2m L^2}$$

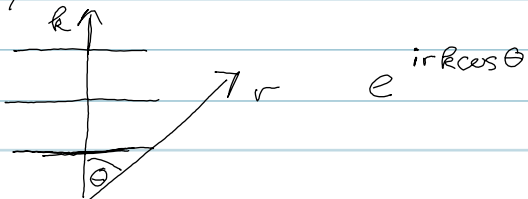
\hookrightarrow Fermi-Energie

3-dim. Modell

Dim. $L, L, L \rightarrow$ period. Randbed.

$$\hookrightarrow \psi(x, y, z) = \psi(x) \psi(y) \psi(z) = e^{i(k_x x + k_y y + k_z z)} = e^{i\vec{k} \cdot \vec{r}}$$

ebene Welle



Energieeigenwerte:

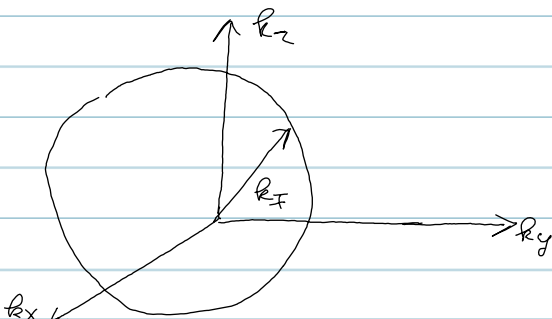
$$E_{\vec{k}} = \frac{\hbar^2}{2m} (k_x^2 + k_y^2 + k_z^2) \quad k_x = n_x \frac{2\pi}{L}$$

$$E_{\vec{k}} = \frac{\hbar^2}{2m} (k_x^2 + k_y^2 + k_z^2) \quad k_x = n_x \frac{2\pi}{L} \quad n_x = 0, \pm 1, \pm 2, \dots$$

$$k_y = \begin{matrix} \vdots \\ ; \end{matrix} \quad \vdots$$

$$k_z = \begin{matrix} \vdots \\ ; \end{matrix} \quad \vdots$$

Fermi-Energie



$$\text{Fermi-Energie: } E_F = \frac{\hbar^2}{2m} k_F^2$$

Fermi-Oberfläche: trennt besetzte von
unbesetzten Zuständen

Berechnung von k_F und E_F

$$\text{Volumen Fermi-Kugel: } V = \frac{4}{3} \pi R_F^3$$

$$\text{Anzahl } e^- \text{ in Kugel: } N = 2 \frac{\frac{4}{3} \pi R_F^3}{\left(\frac{2\pi}{L}\right)^3} = \frac{V}{3\pi^2} R_F^3$$

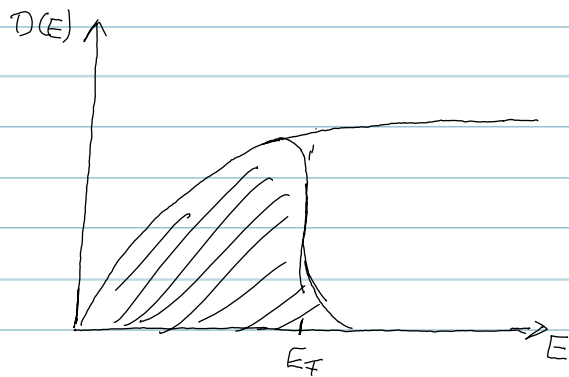
$$\hookrightarrow R_F = \left(\frac{3\pi^2 N}{V} \right)^{1/3}$$

$$E_F = \frac{\hbar^2}{2m} \left(\frac{3\pi^2 N}{V} \right)^{2/3}$$

Bsp.: Metalle	E_F (eV)
Li	4,72
Na	3,23
Cu	7,00
Al	11,63

Zustandsdichte

$$D(E) = \frac{c(N)}{c(E)} = \frac{V}{2\pi^2} \left(\frac{2m}{\hbar^2} \right)^{3/2} E^{1/2}$$



Bsp.: Zustandsdichten von Metallen